



Aittovaaran tuulivoimaosayleiskaava
Liite 3

Tuuliafa Oy

Aittovaaran tuulivoimahankkeen melu- ja välkeselvitys, 25 voimalan sijoittelusuunnitelma

101021883-003, 07.05.2024

Tekijä
AFRY Finland Oy
Kalle Auvinen

E-mail
kalle.auvinen@afry.com

Osasto
Wind and Solar Finland

Raporttiversio
003

Asiakas
Tuulialfa Oy
Aki Hassinen

Päivämäärä
07/05/2024

Projektinumero
101021883-003

Raportin tila
VALMIS

Aittovaaran tuulivoimahankkeen melu- ja väikeselvitys, 25 voimalan sijoittelusuunnitelma

Raporttihistoria

Versio	Pvm/Laatiija	Pvm/Tarkastaja	Merkinnät/Muutokset
001	01.12.2023/ Kalle Auvinen, Technical Consultant	01.12.2023/ Erkki Heikkola, Senior Consultant	Alkuperäinen
002	05.12.2023/ Kalle Auvinen, Technical Consultant	05.12.2023/ Erkki Heikkola, Senior Consultant	Karttakuvien tyyliä päivitetty Jalasmökin kuvausta tarkennettu
003	07.05.2024/ Kalle Auvinen, Technical Consultant	07.05.2024/ Erkki Heikkola, Senior Consultant	Voimalasijoittelu muuttunut Kiiminkijoen luokittelu korjattu Maastotietokannan rakennustiedot päivitetty Raportin otsikkoa ja tekstiä päivitetty

Aineistojen käyttöoikeudet

Selvityksessä on käytetty Maanmittauslaitoksen, Suomen ympäristökeskuksen, Ilmatieteen laitoksen ja Luonnonvarakeskuksen avoimien aineistojen käyttö lupien alaista materiaalia, jotka on lisensoitu Creative Commons Nimeä 4.0 Kansainvälinen -lisenssillä:

<https://creativecommons.org/licenses/by/4.0/deed.fi>.

Sisällysluettelo

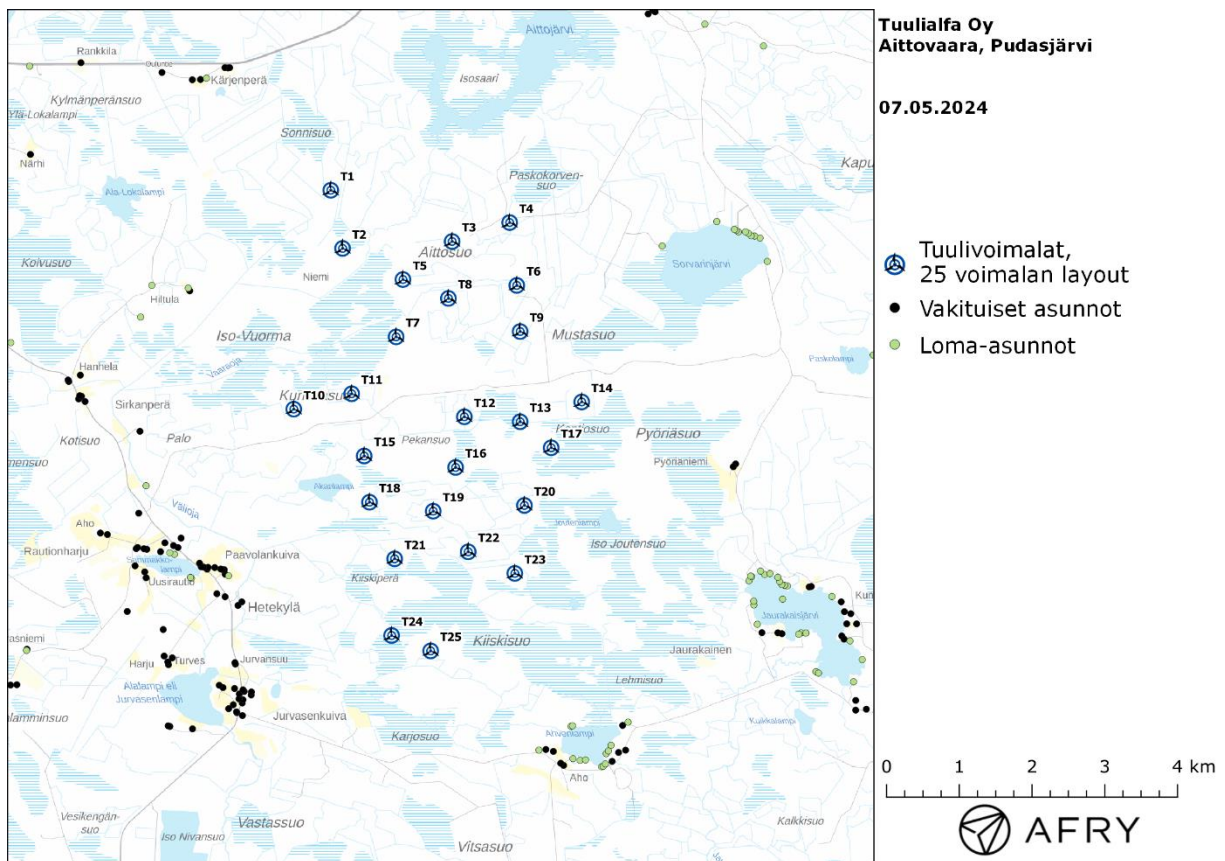
1	Johdanto	4
2	Tuulivoimaloiden melu	6
2.1	Yleistä tuulivoimamelusta	6
2.2	Melumallinnusohjeistus.....	7
2.3	Ohjearvot	8
2.4	Sisämelutasojen arviointi.....	9
3	Tuulivoimakohteen melumallinnus	10
3.1	Keskiäänitasojen LAeq mallinnus	10
3.2	Matalataajuisen melun mallinnus	14
4	Tuulivoimaloiden välke	16
4.1	Välkevaikutus.....	16
4.2	Välkkeen rajoittaminen.....	16
4.3	Arvioinnin epävarmuudet.....	16
4.4	Ohjearvot	17
5	Tuulivoimakohteen välkemallinnus.....	18
5.1	Mallinnusmenetelmä ja lähtöaineisto	18
5.2	Todennäköinen välkevaikutus.....	19
5.3	Teoreettinen välkevaikutus	21
6	Yhteenveto	23
7	Välkevaikutuksen laskentamenetelmä	24
8	Viitteet.....	26
9	Melumallinnuksen tiedot.....	27

1 Johdanto

Selvityksessä arvioidaan Pudasjärven kuntaan suunnitellun Aittovaaran tuulivoimapuiston aiheuttamaa melu- ja välkevaikutusta laskennallisten mallien avulla. Arviointi on tehty 25 voimalan sijoittelusuunnitelmalle. Kohteeseen suunniteltujen voimaloiden paikat on esitetty kuvassa (Kuva 1) ja koordinaatit annettu taulukossa (Taulukko 1).

Välkemallinnuksissa voimaloille on käytetty napakorkeutta 200 m ja roottorin halkaisijaa 200 m (kokonaiskorkeus 300 m). Voimaloiden lapaprofiilina on käytetty tuulivoimalatyypin Vestas V162 valmistajan ilmoittamaa tarkkaa lavan profiilitietoa, joka on lavan leveyden ja pituuden puolesta skaalattu vastaamaan 200 m roottorin halkaisijaa.

Melumallinnuksissa voimaloille on käytetty napakorkeutta 200 m ja tuulivoimalatyypin Vestas V172 6.8 MW PO6800-0S (without serrated trailing edges) taajuusjakaumaa äänitehotasolla 111,1 dB(A) (tuulivoimalavalmistajan ilmoittama maksimiäänitehotaso 109,1 dB(A) + varmuusarvo 2 dB(A)). Tuulivoimalatyypin melupäästön tunnusarvoa ei pystytä tässä yhteydessä määrittämään standardin IEC TS 61400-14 mukaisesti, joten ilmoitettuun melupäästön lukuarvoon lisätään 2 dB tunnusarvon saamiseksi. Näin määriteltynä selvityksessä käytetyt lähtömelutasot ovat ympäristöministeriön mallinnusohjeistuksen mukaisia melupäästön tunnusarvoja.



Kuva 1: Tuulivoimaloiden sijainnit Aittovaaran hankealueella 25 voimalan sijoittelusuunnitelmalla.

Taulukko 1: Tuulivoimaloiden (25 kpl) sijaintikoordinaatit ETRS-TM35FIN-koordinaatistossa ja maaston korkeus tuulivoimalan paikalla.

Tuulivoimalat	E	N	Maaston korkeus [m]
T1	488951	7236368	108
T2	489113	7235570	107
T3	490619	7235665	110
T4	491410	7235925	118
T5	489943	7235143	108
T6	491508	7235062	115
T7	489849	7234356	108
T8	490568	7234884	111
T9	491554	7234429	118
T10	488442	7233364	108
T11	489238	7233575	108
T12	490787	7233259	122
T13	491554	7233191	122
T14	492401	7233463	123
T15	489410	7232721	111
T16	490667	7232564	119
T17	491981	7232834	123
T18	489483	7232087	111
T19	490359	7231964	114
T20	491613	7232043	117
T21	489829	7231310	108
T22	490840	7231406	112
T23	491481	7231110	116
T24	489787	7230258	110
T25	490324	7230046	113

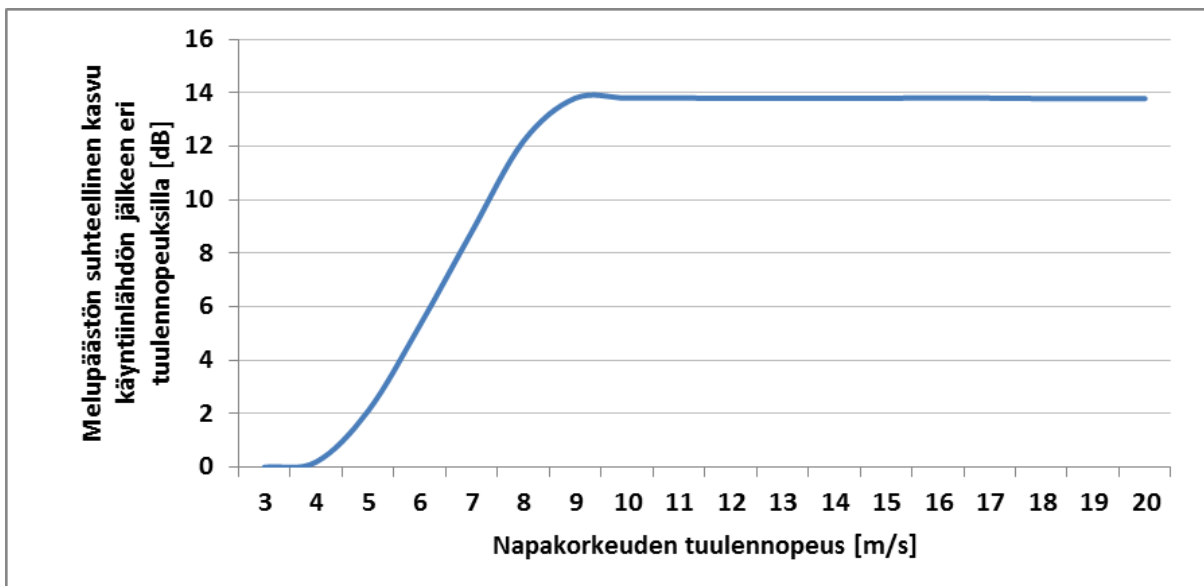
2 Tuulivoimaloiden melu

2.1 Yleistä tuulivoimamelusta

Tuulivoimalaitosten käyntiääni koostuu pääosin laajakaistaisesta lapojen aerodynaamisesta melusta sekä hieman kapeakaistaisemmasta sähköntuotantokoneiston yksittäisten osien aiheuttamasta melusta johon kuuluvat muun muassa vaihteisto, generaattori sekä jäähdytysjärjestelmät. Tuulivoimaloiden aerodynaaminen melu on hallitsevin äänilähde, joka kattaa noin 90 prosenttia kokonaisäänienenergiasta lapojen suuren vaikutuspinta-alan vuoksi [15]. Tuulivoimamelu on A-taajuusjakaumaltaan painottunut tyypillisesti 200–1000 Hz:n väliin.

Modernit kolmilapaiset tuulivoimalaitokset ovat nykyisin ylävirtalaitoksia, joissa siivistö sijaitsee tuulen etupuolella suhteessa voimalan torniin. Katsottaessa aerodynaamisen melun suuntaavuutta ylhäältä käsin on siivistön äänitaso sivutuulen puolelta noin 4–6 dB alhaisempi kuin tuulen ylä- ja alapuolilla samalla etäisyydellä [19].

Vaihtuvanopeuksisen tuulivoimalan äänipäästö on suoraan verrannollinen tuulennopeuteen siten, että alhaisilla tuulilla eli hitaalla roottorin pyörimisnopeudella ja lähellä käyntiinlähtönopeutta lähtöäänitaso on usein noin 10–15 dB alhaisempi kuin voimalan nimellisteholla, jossa roottori saavuttaa suurimman kierrosnopeuden (Kuva 2).



Kuva 2: Esimerkkikuva äänipäästön kasvusta napakorkeuden tuulennopeuden mukaan. Äänitason nousu tasoittuu n. 10 m/s voimalan napakorkeudella mitatun tuulennopeuden jälkeen.

Äänipäästön L_{WA} huipputaso saavutetaan tyypillisesti voimalan nimellistehotasolla, joka tarkoittaa tyypillisesti yli 10 m/s tuulennopeutta napakorkeudella voimalamallista ja etenkin tornikorkeudesta riippuen. Tuulennopeuden edelleen kasvaessa tuulivoimalan siipikulmasäätö tasoittaa äänitehotason nousun roottorin pyörimisnopeuden pysyessä ennallaan.

Taustamelu, kuten liikennemelu ja teollisuusmelu sekä tuulen tuottama aallokko- ja puustokohina, peittävät tuulivoimaloiden melua, mutta peittoäänit ovat ajallisesti ja tasoltaan vaihtelevia. Tuulikohina esimerkiksi puustossa on taajuuskaistaltaan laajakaistaista ja tuulensuunnasta,

puulajeista, vuodenajasta ja tuulennopeudesta riippuva. Puustokohinan äänitaso mittauskorkeudella 1,5 m voi nousta kuitenkin tuulennopeuden mukaan kokemusperäisesti jopa yli 60 dB:n tasolle [18].

Ilmakehän pystysuuntaisen stabiilisuuden ja ilmakehän turbulenssin vaihtelut vuorokauden eri aikoina voivat vaikuttaa tuulisuuden tasoon eri korkeuksilla [16]. Ilmakehän neutraalin stabiilisuuden vallitessa 8 m/s tuulennopeus 10 metrin korkeudella vastaa korkeudella 100 m nopeutta 12 m/s, korkeudella 160 m nopeutta 14 m/s ja korkeudella 200 m nopeutta 15 m/s.

Moderneissa tuulivoimalaitoksissa melun lähtöäänitasa voidaan kontrolloida erillisellä optimointisäädöllä, jonka avulla kellonajan, tuulensuunnan ja tuulennopeuden mukaan säädetään lapakulmaa haluttuun pyörimisnopeuteen ja melutasoon. Tällä säädöllä on kuitenkin vaikutuksia voimalan sen hetkiseen tuotantotehoon. Modernit voimalamallit sisältävät usein myös siiven jättöreunan sahalaudoituksen, joka vähentää melupäästöä nimellisteholla tällä hetkellä noin 2–3 dB ja tulevaisuudessa vieläkin enemmän serraatioiden tuotekehityksen johdosta [14].

Tarkempia taustatietoja tuulivoimaloiden aiheuttaman melun syntymekanismeista, luonteesta ja vaikutuksista on koottuna julkaisuihin [1], [2] ja [5].

2.2 Melumallinnusohjeistus

Ympäristöministeriö on julkaissut 28.2.2014 ohjeen tuulivoimaloiden melun mallintamiseen [7]. Ohjeessa on annettu tietoja mallinnusmenettelyistä arvioitaessa tuulivoimaloiden aiheuttamaa melukuormitusta ympäristönsuojelulain täytäntöönpanossa ja soveltamisessa sekä maankäyttö- ja rakennuslain mukaisissa menettelyissä. Ohjeissa määritellään yksityiskohtaisesti käytettävät mallit, niiden parametrit ja lähtötiedot sekä tulosten esittämistavat. Yksityiskohtainen ohjeistus on koettu tarpeelliseksi, jotta mallinnustulokset olisivat aina tekijöistä riippumatta vertailukelpoisia keskenään. Tämän raportin melumallinnus on toteutettu ympäristöministeriön mallinnusohjeistuksen mukaisesti.

Melumallinnuksen lähtötietona tulisi käyttää teknisen spesifikaation IEC TS 61400-14 mukaista tuulivoimalan melupäästön tunnusarvoa (declared value) L_{WAd} . Se määritellään standardin IEC 61400-11 mukaisissa mittauksissa äänitehotasoksi, jonka varmuus melupäästön mahdollisessa verifiointissa on 95 %. Tunnusarvo koostuu mitatusta keskimääräisestä äänitehotasosta L_{WA} sekä varmuusarvosta K , joka vastaa tuulivoimalatyypin melutason vaihteluväliä 95 %:n varmuudella.

Äänitehotasot on ilmoitettava 1/3-oktaaveittain keskitaajuuksilla 20–10000 Hz ja oktaaveittain keskitaajuuksilla 31,5–8000 Hz, ja ne tulee olla saatavilla 10 m:n referenssikorkeutta vastaavilla tuulen nopeuksilla 8 m/s ja 10 m/s. Melumallinnuksen epävarmuus on tarkastelussa ja ohjeistuksessa sisällytetty laskennassa käytettyyn tuulivoimaloiden melupäästön arvoon, jolloin mallinnustuloksia voidaan suoraan verrata suunnitteluohjeistuksiin ilman erillistä epävarmuustarkastelua, ja äänen etenemisen ja ympäristöolosuhteiden mallinnukseen voidaan käyttää vakioituja sää- ja ympäristöolosuhteita.

Melun häiritsevyyteen vaikuttaa äänitasojen lisäksi melupäästöön mahdollisesti liittyvät erityisen häiritsevät melukomponentit: melun kapeakaistaisuus, melun impulssimaisuus ja merkityksellinen sykintä (nk. amplitudimodulaatio). Melun impulssimaisuuden ja merkityksellisen sykinnän vaikutukset oletetaan sisältyvän valmistajan ilmoittamiin melupäästön tunnusarvoihin, eikä mallinnusohjeistuksessa edellytetä niiden erillistä tarkastelua.

Äänen etenemislaskennassa käytetään ohjeen mukaisia standardiin ISO 9613-2 perustuvia sää- ja ympäristöolosuhteita. Maaston pinnan laatu ja muoto otetaan mallinnuksessa erillisinä huomioon. Lisäksi matalataajuisen äänen eteneminen tulee mallintaa erikseen ohjeistuksessa.

määritelty erillislaskennan avulla, joka perustuu Tanskassa annettuun ohjeistukseen, jonka parametreja on mukautettu Suomen olosuhteisiin [3]. Laskennassa otetaan huomioon geometrinen etäisyysvaimennus sekä ohjeistuksen mukaiset ilmakehän absorptio ja maastovaikutuksen parametrit. Matalataajuisten äänen tarkastelu tehdään erikseen 1/3-oktaaveittain taajuusalueella 20–200 Hz melulle merkittävimmin altistuvien kohteiden (rakennusten) ulkopuolella. Laskennan tarkoituksena on tuottaa tieto ulkomelutasoista terssikaistoittain, ja niiden perusteella voidaan arvioida rakennuksen sisämelutaso oletetulla ääneneneristävyydellä.

2.3 Ohjearvot

Valtioneuvoston 1.9.2015 voimaan astunut asetus 1107/2015 määrittää tuulivoimaloiden aiheuttaman ulkomelutason ohjearvot [9]. Päätöstä sovelletaan meluhaittojen ehkäisemiseksi ja ympäristön viihtyisyyden turvaamiseksi maankäytön, liikenteen ja rakentamisen suunnittelussa sekä rakentamisen lupamenettelyissä. Ohjearvot määritetään melun A-painotettuina päivä- (klo 07–22) ja yöajan (klo 22–07) ekvivalenttimelutasoina ulkoalueille asumiseen käytettävillä alueilla. Valtioneuvoston asetus korvaa aiemmat ympäristöministeriön suosittamat suunnitteluarvot tuulivoimaloiden ulkomelutasoille [8]. Asetus 1107/2015 ei ota kantaa luonnonsuojelualueilla noudatettaviin meluarvoihin, joiden suhteen suunnittelussa noudatetaan valtioneuvoston 1.1.1993 voimaan astuneen päätöksen 993/1992 mukaisia ohjearvoja [10].

Päätöksen 993/1992 mukaisesti taajamien ulkopuolella olevilla luonnonsuojelualueilla melutaso ei saa ylittää päiväajan ohjearvoa 45 dB(A) eikä yöajan ohjearvoa 40 dB(A) [10]. Yöhöarvoa ei sovelleta sellaisilla luonnonsuojelualueilla, joita ei yleisesti käytetä oleskeluun tai luonnon havainnointiin yöllä.

Kun laskennallisia melutasoja verrataan valtioneuvoston asetuksen ohjearvoihin, laskettuun melutasoon ei tehdä korjausta melun impulssimaisuuden tai kapeakaistaisuuden vuoksi. Ympäristöministeriön melumallinnusohjeistuksen [7] mukaan näiden vaikutusten oletetaan lähtökohtaisesti sisältyvän valmistajan ilmoittamiin melupäästön tunnusarvoihin, joita käytetään laskennan lähtötietoina. Sen sijaan valvonnan yhteydessä tehtäviin mittaustuloksiin lisätään 5 dB ennen valtioneuvoston ohjearvoon vertaamista, mikäli tuulivoimalan ääni sisältää kapeakaistaisia tai impulssimaisia komponentteja.

Valtioneuvoston ohjearvot on koottu taulukkoon (Taulukko 2).

Taulukko 2: Mallinnustulosten arvioinnissa sovellettavat valtioneuvoston asetuksen mukaiset ohjearvot.

Tuulivoimamelun ohjearvot	LA _{eq} päiväajalle (klo 7–22)	LA _{eq} yöajalle (klo 22–7)
Pysyvä asutus, Loma-asutus, Hoitolaitokset, Leirintäalueet	45 dB	40 dB
Oppilaitokset, Virkistysalueet	45 dB	-
Luonnonsuojelualueet	45 dB	40 dB ¹
Kansallispuistot	40 dB	40 dB

¹ Yöhöarvoa ei sovelleta sellaisilla luonnonsuojelualueilla, joita ei yleisesti käytetä oleskeluun tai luonnon havainnointiin yöllä.

Sosiaali- ja terveysministeriö on määrittänyt 15.5.2015 voimaan astuneessa asumisterveysasetuksessa toimenpiderajat matalataajuiselle yöaikaiselle melulle sisätiloissa [6]. Melun toimenpiderajat on annettu terssikaistoittain painottamattomille tunnin keskiäänitasoille, ja ne on lueteltu taulukossa (Taulukko 3). Ohjeistuksen mukaiset mallinnustulokset vastaavat matalataajuisen melun tasoa ulkotiloissa, joten ne eivät ole suoraan verrannollisia Asumisterveysasetuksen arvoihin. Ulkomelutasojen avulla voidaan kuitenkin arvioida sisämelutasoja, kun rakennuksen vaipan ääneneristävyys tunnetaan riittävällä tarkkuudella.

Taulukko 3: Asumisterveysasetuksen toimenpiderajat sisämelulle terssikaistoittain. Desibeliarvot ovat taajuuspainottamattomia.

Taajuus [Hz]	20	25	31,5	40	50	63	80	100	125	160	200
Äänitaso $L_{eq,1h}$ [dB]	74	64	56	49	44	42	40	38	36	34	32

2.4 Sisämelutasojen arviointi

Asumisterveysasetuksessa 545/2015 annetaan matalien taajuuksien 20–200 Hz tunnin keskiäänitasojen (Taulukko 3) lisäksi toimenpiderajat päivä- ja yöajan kokonaismelutasoille sisätiloissa. Päiväaikainen (klo 07–22) keskiäänitaso ei saa ylittää 35 dB(A) ja yöaikainen (klo 22–07) keskiäänitaso 30 dB(A). Lisäksi yöaikainen musiikkimelu tai muu vastaava mahdollisesti unihäiriötä aiheuttava melu, joka erottuu selvästi taustamelusta, ei saa ylittää 25 dB yhden tunnin keskiäänitasona $L_{eq,1h}$ mitattuna niissä tiloissa, jotka on tarkoitettu nukkumiseen.

Ympäristöministeriön melumallinnusohjeet eivät sisällä erillisiä ohjeita sisämelun kokonaisäänitason mallintamiseksi. Yöajan sisämelun toimenpiderajojen oletetaan kuitenkin alittuvan, mikäli melumallinnuksen antamat ulkomelutasot sekä matalataajuisen sisämelun tasot alittavat valtioneuvoston asetuksen ja asumisterveysasetuksen ohjearvot. Ympäristöministeriön asetuksen 796/2017 mukaan uudisrakennusten ulkovaipan ääneneristykseen on oltava vähintään 30 dB. Jos tuulivoimaloiden aiheuttama ulkomelutaso alittaa 40 dB(A), niin sisämelutaso pysyy uudisrakennuksilla selkeästi toimenpiderajan alapuolella. Vanhemmat rakennukset eivät kuitenkaan välttämättä toteuta uuden asetuksen vaatimustasoa.

Suomalaisten asuinrakennusten ääneneristävyttä on tutkittu artikkelissa [4], jossa on esitetty taajuuskohtaiset äänitasoerot matalille taajuuskaistoille 20–200 Hz. Artikkelin arvot (Taulukko 6) on määritetty tilastollisesti niin, että ne ylittyvät 84 % todennäköisyydellä suomalaisissa pientaloissa, ja niitä on käytetty tässä selvityksessä matalataajuisen sisämelutasojen arviointiin. Rakennusten ilmastieristykseen keskimääräinen profiili kasvaa korkeammille taajuuksille mentäessä, jonka perusteella mallinnusohjeistuksen mukainen sisämelujen arviointi tehdään vain matalille taajuuksille. Jos matalataajuisen sisämelun tasojen todetaan pysyvän annetuissa toimenpiderajoissa, myös kokonaismelun tasot pysyvät todennäköisesti raja-arvojen alapuolella.

3 Tuulivoimakohteen melumallinnus

3.1 Keskiäänitasojen LAeq mallinnus

Tuulivoimaloiden aiheuttaman keskiäänitason mallinnus on suoritettu laskentastandardin ISO 9613-2 mukaisesti AFRY Numerola -mallinnusohjelmistolla. Mallinnuksessa on käytetty tuulivoimalatyyppin V172 6.8 MW PO6800-0S (without serrated trailing edges) taajuusjakauma. Taajuusjakauma on saatu seuraavasta voimalavalmistajan dokumentista:

- Third octave noise emission, EnVentusTM, V172-6.8MW 50/60 Hz, Document no. 0121-1548_01, 2022-06-29.

Dokumenttia varten tuulivoimalatyyppin V172 testimittauksia ei ollut saatavilla. Esitetyt melutasot perustuvat tuulivoimalatyyppillä V136 tehtyihin mittauksiin, joiden perusteella V172:n melutasoja on arvioitu dokumentissa esitetyllä tavalla. Dokumentissa esitetyn taajuusjakauman melutaso perustuu standardin IEC 61400-11 mukaisiin mittauksiin. Ilmoitettuun melutasoon on lisätty ympäristöministeriön 14.9.2016 antaman lisäohjeistuksen mukainen 2 dB:n varmuusarvo [11]:

”Takuuarvoa ei ole aina esitetty dokumentissa IEC 61400-14 standardin määrittämällä tavalla ja takuuarvo joudutaan tällöin arvioimaan hankekehittäjän tai meluselvitystä tekevän konsultin toimesta. Tässä tapauksessa laskeminen tulee suorittaa IEC 61400-14 mukaisesti. Mikäli takuuarvoa ei ole mahdollista määrittää standardin IEC 61400-14 mukaisesti, tulee tuulivoimalan melupäästön lukuarvoon lisätä varmuusarvona 2 dB takuuarvon saamiseksi.”

Tuulivoimalatyyppin V172 6.8 MW PO6800-0S äänitehotaso on 109,1 dB(A). Mallinuksissa voimaloille on käytetty äänitehotasoa 111,1 dB(A). Mallinuksessa käytetyt taajuusjakaumat vastaavat tuulennopeutta 15 m/s napakorkeudella 200 m, jonka arvioidaan vastaavan melumallinnusohjeistuksen mukaista referenssinopeutta 8 m/s 10 m korkeudella. Tuulivoimaloiden melun impulssimaisuuteen tai amplitudimodulaatioon liittyvää sanktiota ei ole käytetty mallinuksessa.

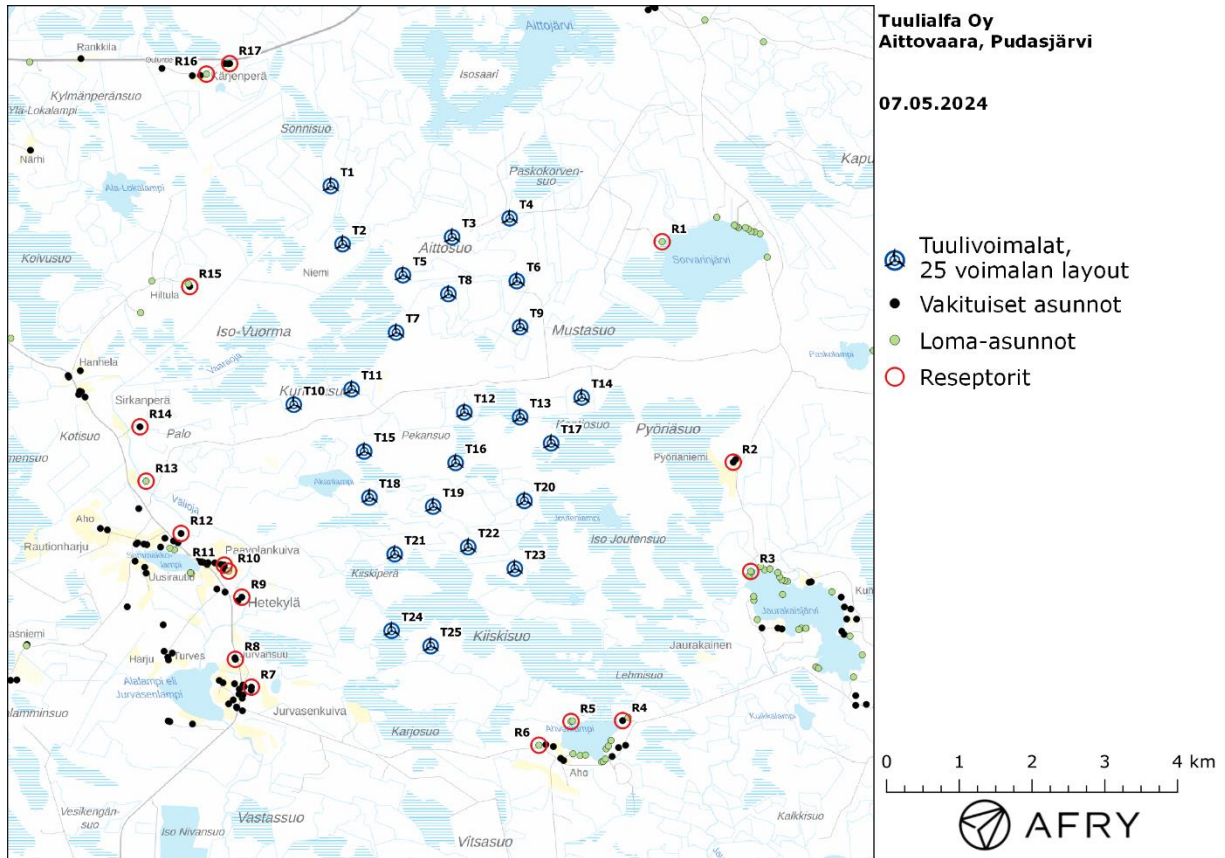
Tuulivoimatyyppien melupäästön kapeakaistaisuuden arvioinnissa on käytetty ympäristöministeriön raportissa Ympäristömelun mittaaminen [12] esitettyä yksinkertaista menetelmää, joka perustuu äänitehotasojen vertailuun terssikaistoittain (1/3-oktaaveittain). Melun tulkitaan olevan kapeakaistaista, mikäli ainakin yhden terssikaistan äänitehotaso on vähintään 5 dB suurempi kuin välittömästi kyseisen kaistan ala- ja yläpuolella olevien terssikaistojen tasot. Luvussa 9 esitettyjen melun taajuusjakaumien mukaan tämä ehto ei toteudu, joten melun kapeakaistaisuuteen liittyvää sanktiota ei ole käytetty.

Maaston korkeusaineistona on käytetty Maanmittauslaitoksen aineistoa *Korkeusmalli 2 m*, jonka pystysuuntainen tarkkuus on 0,3 m ja vaakasuuntainen resoluutio 2 m. Melutasot tuulivoimaloiden ympäristössä laskettiin hilapisteistöön, jonka korkeus on (ohjeistuksen mukaisesti) 4 m maanpinnasta ja vaakaresoluutio 10 m. Ilmakehän absorption aiheuttama vaimennus, äänen suuntaavuus ja sääolosuhteiden vaikutus äänen etenemiseen on määritetty ympäristöministeriön ohjeistusten mukaisesti. Tuulivoimalan sijoituspaikan ympäristössä maaston vaikutuskerroin on ollut maa-alueilla 0,4 ja vesialueilla 0,0. Mallinnusohjeistuksen mukaisesti tuulivoimalan melupäästöön lisätään 2 dB, mikäli voimalan ja melulle altistuvan kohteen välinen korkeusero ylittää 60 m. Akustisen laskennan lähtötiedoista ja parametreista on tehty yhteenveto lukuun 9.

Taulukossa (Taulukko 4) on määritelty tuulivoimaloiden ympäristöstä 17 rakennusta, joiden kohdilla keskiäänitason LAeq ja matalataajuisen melun tasoja tarkastellaan tarkemmin. Rakennusten sijaintipisteitä kutsutaan reseptoripisteiksi, ja niiden paikat suhteessa tuulivoimaloihin on esitetty kartta-pohjalla (Kuva 3). Reseptoripisteet sijaitsevat noin 2–3 km etäisyydellä lähimmistä voimaloista.

Taulukko 4: Reseptorien koordinaatit ETRS-TM35FIN-koordinaatistossa.

Reseptori	E	N	Maaston korkeus [m]	Rakennusluokitus
R1	493508	7235601	122	lomarakennus
R2	494485	7232572	122	vakituinen asuinrakennus
R3	494725	7231071	115	lomarakennus
R4	492964	7229021	117	vakituinen asuinrakennus
R5	492255	7229009	113	lomarakennus
R6	491814	7228683	118	lomarakennus
R7	487861	7229481	110	vakituinen asuinrakennus
R8	487640	7229863	106	vakituinen asuinrakennus
R9	487729	7230717	107	vakituinen asuinrakennus
R10	487547	7231075	109	lomarakennus
R11	487488	7231158	110	vakituinen asuinrakennus
R12	486894	7231592	108	vakituinen asuinrakennus
R13	486413	7232311	105	lomarakennus
R14	486329	7233058	107	vakituinen asuinrakennus
R15	487013	7234985	112	vakituinen asuinrakennus
R16	487243	7237904	111	lomarakennus
R17	487562	7238048	112	vakituinen asuinrakennus



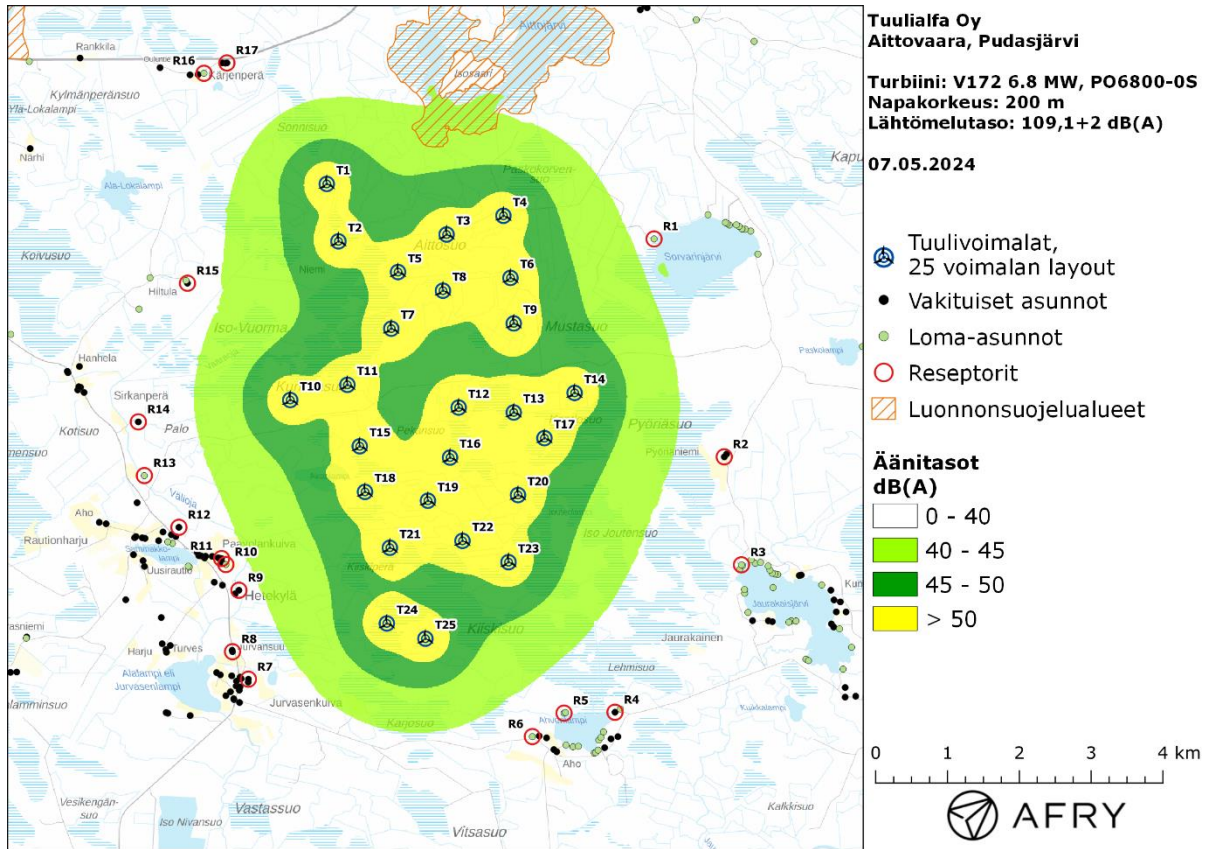
Kuva 3: Reseptorien paikat tuulivoimapuiston hankealueella.

Meluvaikutus

Tuulivoimaloiden aiheuttama mallinnettu keskiäänitaso LAeq on esitetty karttakuvana (Kuva 4). Alueen rakennustieto perustuu Maanmittauslaitoksen maastotietokannan aineistoon, jossa on eritelty alueen asuinrakennukset ja loma-asunnot. Karttakuvaan on merkitty keskiäänitasojen 40 dB(A), 45 dB(A) ja 50 dB(A) mukaiset vyöhykkeet, joita käytetään apuna tulosten arvioinnissa.

Keskiäänitasot reseptoreiden kohdilla on lueteltu taulukossa (Taulukko 5). Mallinnustulosten perusteella keskiäänitasot jäävät valtioneuvoston asetuksen 40 dB(A):n ohjearvojen alapuolelle kaikkien alueen asuin- ja lomarakennusten kohdilla.

Karttakuvissa on lisäksi esitetty hankkeen ympäristössä sijaitsevat luonnonsuojelualueet. Hankealueen pohjoispuolella sijaitseva Aittojärven luonnonsuojelualue ei ole asiakkaan tulkinnan mukaan yöaikaisessa virkistyskäytössä, eikä siihen silloin sovelleta luonnonsuojelualueiden yöaikaista 40 dB(A) ohjearvoa. Melutasot pysyvät kaikilla hankealueen läheisyydessä sijaitsevilla luonnonsuojelualueilla päiväaikaisen 45 dB(A) ohjearvon alapuolella.



Kuva 4: Keskiäänitasot LAeq Aittovaaran tuulivoimahankkeen 25 tuulivoimalan sijoittelusuunnitelmalla.

Taulukko 5: Keskiäänitasot LAeq reseptoripisteiden kohdilla.

Reseptori	Äänitaso dB(A)
R1	38,6
R2	37,0
R3	34,6
R4	35,6
R5	37,0
R6	37,2
R7	36,9
R8	36,9
R9	38,8
R10	38,8
R11	38,7
R12	37,2
R13	36,2
R14	36,4
R15	38,2
R16	34,4
R17	34,8

3.2 Matalataajuisen melun mallinnus

Matalataajuisen melun laskenta on suoritettu ympäristöministeriön mallinnusohjeistuksen mukaisesti [7]. Laskennan lähtötietona on käytetty samoja valmistajan ilmoittamia melun taajuusjakaumia kuin keskiäänitasojen mallinnuksessa, mutta rajoittuen 1/3-oktaaveittain taajuuksille 20–200 Hz. Matalataajuisen melun laskenta suoritetaan taajuuspainottamattomilla melutasoilla.

Meluvaikutus

Matalataajuisen melun arvioinnissa käytetään Suomen asumisterveysasetuksessa määriteltyjä taajuuskohtaisia arvoja, jotka antavat toimenpiderajat matalataajuisen melun yöaikaisille sisämelutasoille (Taulukko 3). Ympäristöministeriön ohjeistuksen mukainen mallinnus antaa matalataajuisen ulkomelun tasot voimaloita lähimpien kiinteistöjen kohdilla. Tulokset eivät siis ole suoraan vertailukelpoisia asumisterveysasetuksen arvoihin, vaan tulokinnassa pitää huomioida myös rakennusten ulkovaipan ääneneristävyys.

Ympäristöministeriön ohjeiden mukainen matalataajuisen melun laskenta perustuu Tanskan ympäristöhallinnon ohjeissa esitettyyn menetelmään [3], jonka parametreihin on tehty joitakin Suomen olosuhteisiin perustuvia tarkennuksia. Tanskan menetelmässä on määritelty rakennuksesta aiheutuva äänitasoero (ΔL_o) taajuuskaistoittain, jolloin saadaan laskettua myös sisämelutasot ja toimenpiderajoihin verrannolliset mallinnustulokset.

Tässä raportissa käytetyt rakennusten parametrit perustuvat tutkimukseen suomalaisten pientalojen äänieristävyiden arvoista [4]. Turun ammattikorkeakoulussa tehdyssä tutkimuksessa esitetyt arvot perustuvat suomalaisissa pientaloissa tehtyihin mittauksiin, joiden avulla on johdettu tilastollinen estimaatti talojen ääneneristävyyksille eri taajuuksilla. Artikkelin [4] äänitasoerot ylittyvät 84 % todennäköisyydellä suomalaisissa pientaloissa, ja ne ovat selkeästi alhaisempia kuin Tanskan ympäristöhallinnon ohjeissa annetut arvot. Ne antavat siten konservatiivisen arvion rakennusten aiheuttamalle ääneneristävyydelle, ja tässä raportissa vertailurakennusten matalataajuisia sisämelutasoja arvioidaan käyttäen näitä alempia äänitasoeroja. Taulukossa (Taulukko 6) on esitetty sekä Tanskan ympäristöhallinnon ohjeissa että artikkelissa [4] annetut äänitasoerot.

Taulukko 6: Rakennuksen äänitasoerot taajuuskaistoittain.

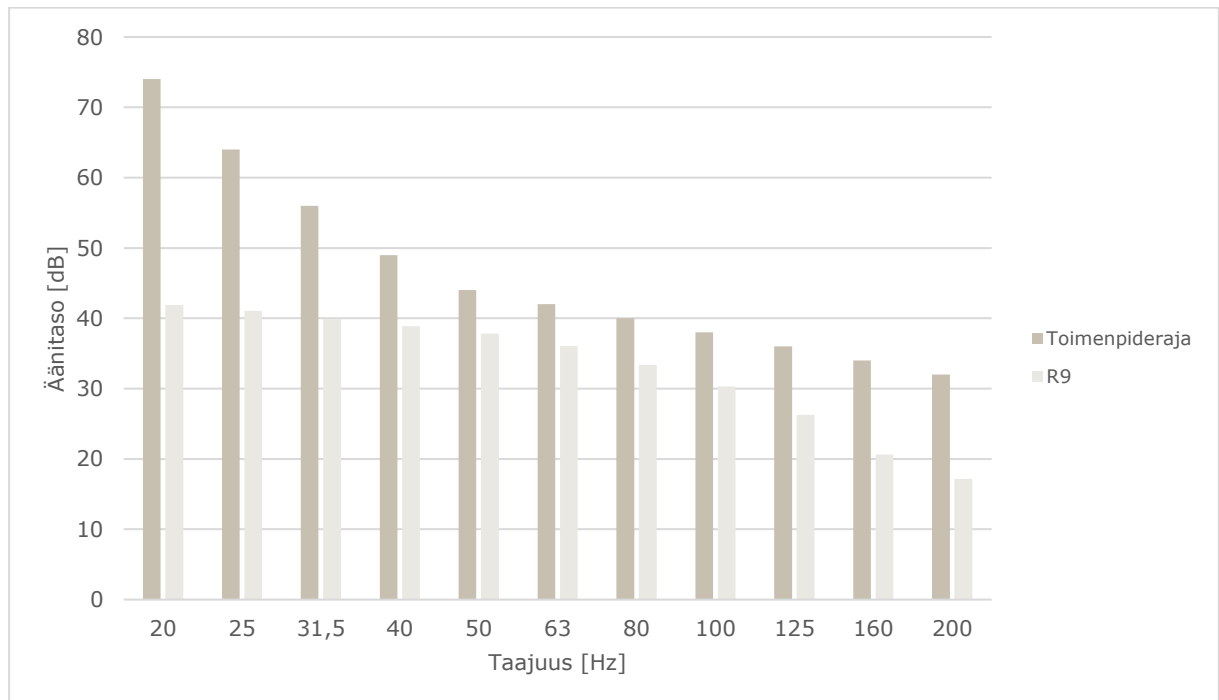
Taajuus [Hz]	20	25	31,5	40	50	63	80	100	125	160	200
Äänitasoero [dB] (Tanskan ohjeistus)	6,6	8,4	10,8	11,4	13,0	16,6	19,7	21,2	20,2	21,2	-
Äänitasoero [dB] (viite [4])	7,6	8,3	9,2	10,3	11,5	13,0	14,8	16,8	18,8	21,1	22,8

Melutasoja tarkastellaan aiemmin määriteltyjen reseptoreiden paikoilla. Lisäksi lasketaan sisämelutasot eniten melulle altistuvassa kohteessa käyttäen alempia äänitasoeroja (Taulukko 6) ja verrataan näitä tuloksia asumisterveysasetuksen arvoihin. Tuulivoimaloiden aiheuttama matalataajuinen ulkomelutaso reseptoreiden kohdilla taajuuskaistoittain ja ilman taajuuspainotusta on lueteltu taulukoissa (Taulukko 7). Taulukkoon on eritelty ohjeistuksen mukaisesti lasketut ulkotilojen melutasot.

Korkeimmat matalataajuisen melun tasot kohdistuvat reseptoriin R9, jonka kohdalla on laskettu myös sisämelutasot ja verrattu niitä Asumisterveysasetuksen arvoihin kuvassa (Kuva 5). Kun otetaan huomioon rakennuksien ääneneristävyys, melutasot jäävät molemmilla suunnitelmilla toimenpiderajojen alapuolelle koko taajuusvälillä.

Taulukko 7: Matalataajuisen ulkomelun äänitasot (dB) reseptoreiden kohdilla 25 tuulivoimalan sijoittelu-suunnitelmalla.

taajuus	20	25	31,5	40	50	63	80	100	125	160	200
R1	49,4	49,2	49,0	49,1	49,2	49,0	48,1	47,0	45,0	41,6	39,8
R2	48,3	48,2	48,0	48,0	48,2	47,9	47,0	45,9	43,7	40,3	38,4
R3	47,0	46,8	46,6	46,6	46,7	46,4	45,5	44,3	42,1	38,5	36,4
R4	47,4	47,2	47,0	47,0	47,2	46,9	45,9	44,8	42,6	39,1	37,1
R5	48,4	48,2	48,0	48,0	48,2	47,9	47,0	45,9	43,8	40,4	38,5
R6	48,2	48,1	47,8	47,9	48,0	47,8	46,8	45,8	43,6	40,2	38,4
R7	48,1	48,0	47,7	47,8	47,9	47,6	46,7	45,6	43,5	40,1	38,2
R8	48,2	48,1	47,9	47,9	48,0	47,8	46,8	45,8	43,6	40,2	38,3
R9	49,5	49,3	49,1	49,2	49,3	49,0	48,2	47,1	45,1	41,7	40,0
R10	49,5	49,3	49,1	49,1	49,3	49,0	48,1	47,1	45,0	41,7	39,9
R11	49,4	49,3	49,0	49,1	49,3	49,0	48,1	47,0	45,0	41,6	39,8
R12	48,5	48,4	48,1	48,2	48,3	48,0	47,1	46,0	43,9	40,5	38,6
R13	47,9	47,8	47,5	47,6	47,7	47,4	46,5	45,4	43,2	39,8	37,8
R14	48,0	47,9	47,6	47,6	47,8	47,5	46,6	45,5	43,3	39,9	37,9
R15	49,1	49,0	48,7	48,8	48,9	48,6	47,8	46,7	44,6	41,2	39,4
R16	46,5	46,3	46,0	46,1	46,2	45,9	44,9	43,8	41,5	38,0	35,9
R17	46,6	46,5	46,3	46,3	46,4	46,1	45,1	44,0	41,8	38,3	36,3



Kuva 5: Matalataajuisen sisämelun tasot reseptorin R9 kohdalla 25 tuulivoimalan sijoittelu-suunnitelmalla.

4 Tuulivoimaloiden välke

4.1 Välkevaikutus

Välkevaikutuksella tarkoitetaan tilannetta, jossa Auringon paisteen ja tarkastelupisteen väliin jäävän voimalan lavat aiheuttavat välkkyvän varjon. Välke voi ulottua pisimmillään 1–3 km etäisyydelle voimalasta. Välkevaikutuksen etäisyyteen ja kestoon vaikuttavat tuulivoimalan korkeus ja roottorin halkaisija, vuoden- ja vuorokaudenaika, maaston muodot sekä näkyvyyttä rajoittavat tekijät kuten kasvillisuus ja pilvisuus.

Suomen sijainnin vuoksi yksittäisen tuulivoimalan välkevaikutus kohdistuu valtaosin voimalan pohjoispuolelle (päiväaika) sekä lounais- ja kaakkoispuolelle (aamu- ja ilta-ajat). Suomessa voimala aiheuttaa välkevaikutusta eteläpuolelleen vain pohjoisen napapiirin pohjoispuolella.

Välkevaikutuksen laskenta voi perustua joko teoreettisen maksimivälkkeen tai todennäköisen tilanteen mallinnukseen:

- Teoreettisen maksimivälkkeen laskennassa oletetaan, että päiväaikaan Aurinko paistaa jatkuvasti, tuulivoimalan roottori pyörii jatkuvasti, ja roottori on aina kohtisuorassa Aurinkoa kohden.
- Todennäköisen tilanteen mallinnuksessa otetaan huomioon paikallinen tilastollinen aineisto auringonpaisteen määrästä ja ajoittumisesta sekä tuulen suuntien ja nopeuksien jakautumisesta.

Tämän selvityksen väkelaskenta on tehty mallintamalla sekä todennäköinen välkeaika että teoreettinen maksimivälke.

4.2 Välkkeen rajoittaminen

Välkevaikutusta voidaan vähentää voimalakohtaisella välkkeen hallintatyökalulla (shadow flicker protection system), joka sisältää valoanturin ja välkkeenhallintasovelluksen. Työkalun avulla voimala voidaan pysäyttää joko havaitun auringonpaisteen perusteella ja/tai haluttuina vuoden- ja kellon-aikoina. Pysäytetty voimala ei aiheuta välkettä.

4.3 Arvioinnin epävarmuudet

Mallinnettu todennäköinen välkevaikutus perustuu auringonpaisteen ja tuulisuuden tilastolliseen aineistoon. Yksittäisen vuoden sääolosuhteet saattavat poiketa merkittävästi keskimääräisistä olosuhteista, jolloin vuotuinen välkevaikutus voi poiketa mallinnetusta arvosta. Auringonpaisteen aineisto on saatu Oulun sääasemalta, josta etäisyys hankealueeseen on noin 70 km.

Mallinnuksessa ei ole huomioitu paikallisen puuston vaikutusta voimaloiden näkyvyyteen ja välkevaikutukseen. Puusto voi rajoittaa merkittävästi näkyvyyttä tuulivoimaloille ja vähentää vuotuista välkevaikutusta. Puuston näkyvyyttä peittävä vaikutus vaihtelee kuitenkin vuosien ja vuodenaikojen suhteen, minkä vuoksi puuston välkettä vähentävää vaikutusta ei pystytä arvioimaan tarkasti.

Rakennuksiin kohdistuvan välkkeen laskennassa käytetään ns. kasvihuone-oletusta, jolloin rakennukseen kohdistuva välkevaikutus huomioidaan riippumatta suunnasta. Välkevaikutuksen laskennallinen arvio kuvaa siis välkevaikutusta ulkona. Rakennusten sisätiloissa välkevaikutus on yleensä vähäisempi, koska välkevaikutus kohdistuu rakennuksen sisätiloihin vain ikkunoiden suunnasta.

4.4 Ohjearvot

Tuulivoimaloiden välkevaikutukselle ei ole Suomessa määritelty ohjearvoja. Ympäristöministeriön ohjeissa tuulivoimapuiston suunnitteluun suositellaan käytettäväksi muiden maiden suosituksia välkemäärien osalta [8]. Tanskassa on määritetty vuotuisen välketuntimäärän suositusarvoksi 10 h. Ruotsissa vastaava suositusarvo on 8 h ja korkeintaan 30 min päivässä [20]. Näiden ohjearvojen käyttö edellyttää todennäköisen välketilanteen laskentaa. Mikäli välketuntien arvioinnissa käytetään laskennallista maksimituntimäärää, voidaan vuotuisen välkevaikutuksen ohjearvona käyttää Saksassa käytettävää 30 h raja-arvoa. Tässä raportissa mallinnettujen välketasojen arvioinnissa käytetään Ruotsin suunnitteluohjeissa annettuja ohjearvoja todennäköisen välkkeen tapauksessa. Teoreettisen maksimivälkkeen arvioinnissa käytetään Saksan 30 tunnin raja-arvoa vuodessa ja 30 minuuttia päivässä.

5 Tuulivoimakohteen välkemallinnus

5.1 Mallinnusmenetelmä ja lähtöaineisto

Tuulivoimaloiden aiheuttama välkevaikutus (shadow flicker) arvioitiin AFRY Numerola mallinnusohjelmistolla. Ohjelmiston laskentamalli huomioi auringon paikan vuoden eri aikoina, tuulivoimalueen ja sen ympäristön maastonmuodot sekä tuulivoimaloiden dimensiot. Laskennan tuloksena saadaan tieto siitä, kuinka monta tuntia vuodessa alueen eri kohteet ovat välkevaikutuksen alaisena. Tulosta havainnollistetaan tasa-arvokäyrästöllä, jonka perusteella voidaan arvioida varjostusvaikutusta tarkastelualueella.

Tarkastelualueiden maanpinnan korkeuserot on saatu Maanmittauslaitoksen aineistosta *Korkeusmalli 10 m*. Korkeusdatan vaakaresoluutio on 10 m ja pystysuorainen tarkkuus 1,4 m. Laskennassa huomioitiin korkeuserot siten, että jos Auringon, tuulivoimalan ja tarkastelupisteen kautta kulkeva jana leikkaa maanpintaa, niin varjostusta ei esiinny. Välkevaikutus laskettiin 2 m korkeudelle. Auringonpaistekulman rajana horisontista käytettiin kolmea astetta, jonka alle menevää säteilyä ei oteta huomioon varjostuksessa.

Tuulivoimalan lapojen aiheuttama varjo heikkenee asteittain liikuttaessa etäämmälle voimalasta, eikä tietyn etäisyyden jälkeen varjo ole enää ihmissilmän havaittavissa. Tämä etäisyys riippuu tuulivoimalan lavan leveydestä, ja esimerkiksi Ruotsin tuulivoimarakentamisen suunnitteluohjeituksessa määritellään, että välkevaikutus huomioidaan mikäli lapa peittää vähintään 20 % Auringosta. Käytännössä tämä asettaa lavan leveydestä riippuvan maksimietäisyyden yksittäisen tuulivoimalan aiheuttamalle välkevaikutukselle, eikä sen ulkopuolella välkevaikutusta ole.

Yleensä väkelaskennan maksimietäisyyden laskenta perustuu lavan keskimääräiseen leveyteen, joka määrää maksimietäisyyden. Käytännössä tuulivoimalan lapa ei ole vakiolevyinen: Levein kohta sijaitsee lähellä tuulivoimalan napaa, ja lapa kapenee huomattavasti kärkeä kohti liikuttaessa. Tällä perusteella lavan tyven välkevaikutus ulottuu huomattavasti pidemmälle kuin lavan kärjen, mikäli arviointiperusteena käytetään Auringon peittoastetta. Tässä selvityksessä väkelaskennassa ei ole käytetty tavanomaista maksimietäisyyttä, vaan on huomioitu tuulivoimalan muuttuva lapaprofiili.

Väkelaskennassa tuulivoimaloille on käytetty napakorkeutta 200 m ja roottorin halkaisijaa 200 m. Tuulivoimaloille on käytetty tuulivoimalatyypin Vestas V162 lapaprofiilia skaalattuna roottorin halkaisijalle 200 m. Profiilia on samalla levennetty siten, että lavan levein kohta on 4,6 m (V162:n lapaprofiilin levein kohta on 4,3 m). Lapaprofiilia on arvioitu tuulivoimalavalmistajan toimittamien tietojen perusteella. Laskentamenetelmän yksityiskohdat on kuvattu luvussa 7.

Todelliseen välkevaikutukseen vaikuttavat tuulivoimaloiden käyttöaste, puusto ja paikallinen säätila (pilvisuus ja tuulisuus). Jos esimerkiksi tuulen suunta on kohtisuorassa auringon ja tarkastelupisteen välistä linjaa vasten, ei varjostusvaikutusta esiinny. Varjostuksen laskennassa tuulivoimaloiden orientaatio voidaan määrittää, jolloin roottori oletetaan tiettyyn suuntaan asetetuksi ympyrätasoksi. Todennäköisen välkevaikutuksen laskenta on suoritettu kuudella eri tuulivoimalan orientaatiolla. Tämä vastaa 12 tuulen suuntasektorin varjostustuloksia, sillä vastakkaiset tuulensuunnat aiheuttavat välkkeen kannalta efektiivisesti saman roottorin orientaation. Kullakin tuulen suunnalla laskettua välketuntimäärää on skaalattu Suomen tuuliatlaksesta [21] saatavan suuntasektorin esiintymisfrekvenssillä ja suuntakohtaisesta nopeusjakaumasta määritellyn tuulivoimalan käyntinopeuksien ajallisella osuudella. Käynnistysnopeutta alemmissa tai pysäytysnopeutta korkeammassa tuulissa tuulivoimalat ovat paikallaan, jolloin roottorin pyörimisestä aiheutuvaa valon välkkymistä ei esiinny. Suomen tuuliatlaksen tuulisuusestimaatti on otettu tuulivoima-alueen keskeltä korkeudelta

200 m, ja sen perusteella lasketut suuntasektorikohtaiset osuudet tuulivoimalan käyntinopeusvälille osuville tuulille on lueteltu taulukossa (Taulukko 8).

Paikallinen pilvisuus on huomioitu skaalaamalla eri roottoriorientaatioilla laskettuja varjostusaikoja Oulun sääasemalta mitattujen auringonpaistetuntien suhteellisella osuudella teoreettisesta maksimipaistetuntien määrästä [22]. Sääaseman mittausten perusteella lasketut kuukausittaiset auringonpaisteen todennäköisyydet on koottuna taulukoon (Taulukko 9). Suuntakohtaisesti skaalatut välketuntimäärät yhteen laskien saadaan arvio todellisesta, säätilan huomioonottavasta välketuntimäärästä tarkastelualueella.

Taulukko 8: Suuntasektorikohtaiset osuudet yli 3 m/s tuulenopeuksille Suomen tuuliatlaksen perusteella.

Suuntasektori	0/180	30/210	60/240	90/270	120/300	150/330
Yli 3 m/s osuus	0,171	0,169	0,172	0,162	0,121	0,128

Taulukko 9: Auringonpaisteen kuukausittaiset todennäköisyydet Oulun sääasemalla.

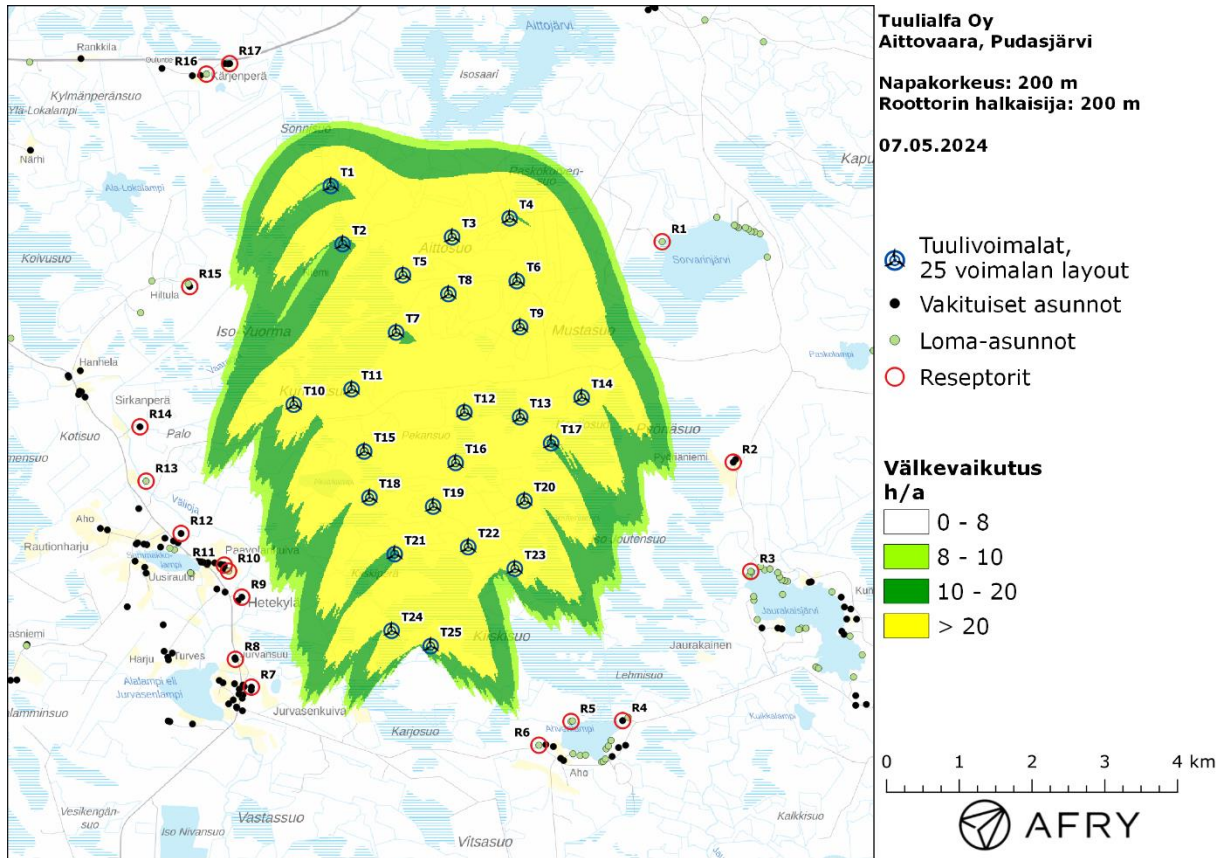
Kuukausi	Auringonpaisteen todennäköisyys
Tammikuu	0,152
Helmikuu	0,289
Maaliskuu	0,377
Huhtikuu	0,455
Toukokuu	0,469
Kesäkuu	0,451
Heinäkuu	0,452
Elokuu	0,413
Syyskuu	0,340
Lokakuu	0,229
Marraskuu	0,151
Joulukuu	0,070

5.2 Todennäköinen välkevaikutus

Mallinnetut arviot todennäköisten välketuntien vuotuisesta määrästä on esitetty karttakuvana (Kuva 6). Mallinnuksessa ei ole huomioitu paikallisen puuston vaikutusta tuulivoimaloiden näkyvyyteen ja välkevaikutukseen. Karttoihin on merkitty ympäristössä sijaitsevat loma- ja asuinrakennukset käyttäen lähtötietona Maanmittauslaitoksen maastotietokannan sisältämiä tietoja.

Mallinnusten perusteella todennäköinen vuotuinen välkevaikutus jää alle Ruotsin 8 tunnin ohjearvon ja Tanskan 10 tunnin ohjearvon kaikkien alueen asuin- ja lomarakennusten kohdilla. Myös todennäköisen välkkeen suurin päiväkohtainen määrä jää alle Ruotsin 30 minuutin ohjearvon kaikkien alueen asuin- ja lomarakennusten kohdalla. Vuotuiset todennäköiset välkevaikutusajat ja suurimmat päiväkohtaiset maksimivälkkeet reseptoreiden kohdalla on esitetty taulukossa (Taulukko 10)

Suurin todennäköinen välkevaikutus kohdistuu reseptorin R6 kohdalla olevaan lomarakennukseen. Todennäköisen välkevaikutuksen tarkempi ajoittuminen tämän reseptorin kohdalla on esitetty taulukossa (Taulukko 11). Taulukossa esitetyt kellonajat ovat aikavyöhykkeen UTC+2 mukaisia (Suomen talviaika).



Kuva 6: Aittovaaran tuulivoimahankkeen 25 tuulivoimalan sijoittelusuunnitelman todennäköinen vuotuinen välkevaikutus ilman puuston vaikutusta.

Taulukko 10: Todennäköinen vuotuinen välkevaikutus sekä välkeajan suurin päiväkohtainen arvo ([h:min]) reseptoreiden kohdilla 25 tuulivoimalan sijoittelusuunnitelmalla.

Reseptori	Todennäköinen vuotuinen välke aika	Todennäköisen välkkeen päiväkohtainen maksimivälke aika
R1	1:51	0:03
R2	0:35	0:03
R3	0:00	0:00
R4	0:00	0:00
R5	0:45	0:03
R6	2:40	0:04
R7	0:56	0:04
R8	0:37	0:03
R9	2:19	0:04
R10	2:11	0:04
R11	1:56	0:03
R12	1:43	0:04
R13	0:39	0:03
R14	0:38	0:03
R15	1:45	0:04
R16	0:18	0:02
R17	0:24	0:02

Taulukko 11: Todennäköisen välkevaikutuksen ajoittuminen ja kesto ([h:min]) reseptorin R6 kohdalla.

Kellonaika	0-2	2-4	4-6	6-8	8-10	10-12	12-14	14-16	16-18	18-20	20-22	22-24	
Tammikuu	0:00	0:00	0:00	0:00	0:00	0:00	0:00	0:00	0:00	0:00	0:00	0:00	0:00
Helmikuu	0:00	0:00	0:00	0:00	0:00	0:00	0:00	0:00	0:00	0:00	0:00	0:00	0:00
Maaliskuu	0:00	0:00	0:00	0:00	0:00	0:00	0:00	0:00	0:00	0:00	0:00	0:00	0:00
Huhtikuu	0:00	0:00	0:00	0:00	0:00	0:00	0:00	0:00	0:00	0:00	0:00	0:00	0:00
Toukokuu	0:00	0:00	0:00	0:00	0:00	0:00	0:00	0:00	0:00	0:00	0:38	0:00	0:38
Kesäkuu	0:00	0:00	0:00	0:00	0:00	0:00	0:00	0:00	0:00	0:00	0:48	0:00	0:48
Heinäkuu	0:00	0:00	0:00	0:00	0:00	0:00	0:00	0:00	0:00	0:00	1:13	0:00	1:13
Elokuu	0:00	0:00	0:00	0:00	0:00	0:00	0:00	0:00	0:00	0:00	0:00	0:00	0:00
Syyskuu	0:00	0:00	0:00	0:00	0:00	0:00	0:00	0:00	0:00	0:00	0:00	0:00	0:00
Lokakuu	0:00	0:00	0:00	0:00	0:00	0:00	0:00	0:00	0:00	0:00	0:00	0:00	0:00
Marraskuu	0:00	0:00	0:00	0:00	0:00	0:00	0:00	0:00	0:00	0:00	0:00	0:00	0:00
Joulukuu	0:00	0:00	0:00	0:00	0:00	0:00	0:00	0:00	0:00	0:00	0:00	0:00	0:00
Yhteensä	0:00	0:00	0:00	0:00	0:00	0:00	0:00	0:00	0:00	0:00	2:40	0:00	2:40

5.3 Teoreettinen välkevaikutus

Teoreettisen maksimivälkkeen vuotuiset ja suurimmat päiväkohtaiset välkevaikutusajat reseptoreiden kohdilla on lueteltu taulukossa (Taulukko 12). Mallinnusten perusteella teoreettinen vuotuinen ja päiväkohtainen maksimivälke aika pysyy ohjearvojen alapuolella kaikkien alueen loma- ja asuinrakennusten kohdalla, kun välke aikoja verrataan Saksan raja-arvoihin.

Suurin teoreettinen välkevaikutus kohdistuu reseptorin R6 kohdalla olevaan lomarakennukseen. Teoreettisen välkevaikutuksen tarkempi ajoittuminen tämän reseptorin kohdalla on esitetty taulukossa (Taulukko 13). Taulukossa esitetyt kellonajat ovat aikavyöhykkeen UTC+2 mukaisia (Suomen talviaika).

Taulukko 12: Teoreettinen vuotuinen välkevaikutus sekä välkeajan suurin päiväkohtainen arvo ([h:min]) reseptoreiden kohdilla 25 tuulivoimalan sijoittelusuunnitelmalla.

Reseptori	Teoreettinen vuotuinen välke aika	Teoreettisen välkkeen päiväkohtainen maksimivälke aika
R1	9:24	0:13
R2	2:21	0:11
R3	0:00	0:00
R4	0:00	0:00
R5	3:07	0:14
R6	10:27	0:17
R7	3:31	0:14
R8	2:23	0:12
R9	9:02	0:13
R10	8:39	0:13
R11	7:42	0:12
R12	6:01	0:13
R13	2:25	0:11
R14	2:36	0:13
R15	7:47	0:13
R16	2:00	0:11
R17	2:49	0:13

Taulukko 13: Teoreettisen välkevaikutuksen ajoittuminen ja kesto ([h:min]) reseptorin R6 kohdalla.

Kellonaika	0-2	2-4	4-6	6-8	8-10	10-12	12-14	14-16	16-18	18-20	20-22	22-24	
Tammikuu	0:00	0:00	0:00	0:00	0:00	0:00	0:00	0:00	0:00	0:00	0:00	0:00	0:00
Helmikuu	0:00	0:00	0:00	0:00	0:00	0:00	0:00	0:00	0:00	0:00	0:00	0:00	0:00
Maaliskuu	0:00	0:00	0:00	0:00	0:00	0:00	0:00	0:00	0:00	0:00	0:00	0:00	0:00
Huhtikuu	0:00	0:00	0:00	0:00	0:00	0:00	0:00	0:00	0:00	0:00	0:00	0:00	0:00
Toukokuu	0:00	0:00	0:00	0:00	0:00	0:00	0:00	0:00	0:00	0:00	2:25	0:00	2:25
Kesäkuu	0:00	0:00	0:00	0:00	0:00	0:00	0:00	0:00	0:00	0:00	3:18	0:00	3:18
Heinäkuu	0:00	0:00	0:00	0:00	0:00	0:00	0:00	0:00	0:00	0:00	4:45	0:00	4:45
Elokuu	0:00	0:00	0:00	0:00	0:00	0:00	0:00	0:00	0:00	0:00	0:00	0:00	0:00
Syyskuu	0:00	0:00	0:00	0:00	0:00	0:00	0:00	0:00	0:00	0:00	0:00	0:00	0:00
Lokakuu	0:00	0:00	0:00	0:00	0:00	0:00	0:00	0:00	0:00	0:00	0:00	0:00	0:00
Marraskuu	0:00	0:00	0:00	0:00	0:00	0:00	0:00	0:00	0:00	0:00	0:00	0:00	0:00
Joulukuu	0:00	0:00	0:00	0:00	0:00	0:00	0:00	0:00	0:00	0:00	0:00	0:00	0:00
Yhteensä	0:00	0:00	0:00	0:00	0:00	0:00	0:00	0:00	0:00	0:00	10:27	0:00	10:27

6 Yhteenveto

Raportissa on esitetty Pudasjärven kunnan alueelle suunnitellun Aittovaaran tuulivoimapuiston ympäristölleen aiheuttaman melu- ja välkevaikutuksen laskennalliset arviot. Vaikutusten arviointi on tehty 25 tuulivoimalan sijoittelusuunnitelmalle.

Meluvaikutusten arviointi on toteutettu käyttäen turbiinityypin V172 6.8 MW PO6800-0S taajuusjakaumaa ja napakorkeutta 200 m. Mallinnusten perusteella melutasot alueen loma- ja asuinrakennusten kohdilla jäävät alle valtioneuvoston ohjearvojen. Myös matalataajuisen melun tasot pysyvät alueen kaikkien loma- ja asuinrakennusten kohdilla asumisterveysasetuksessa asetettujen arvojen alapuolella.

Tuulivoimaloiden välkevaikutukselle ei ole Suomessa määritelty ohjearvoja, ja ympäristöministeriö suosittelee käyttämään muiden maiden ohjearvoja. Mallinnusten mukaan todennäköinen vuotuinen välkevaikutus jää alle Ruotsin 8 tunnin ohjearvon ja Tanskan 10 tunnin ohjearvon alueen kaikkien asuin- ja lomarakennusten kohdilla. Myös todennäköinen päiväkohtainen välkeaika alittaa Ruotsin 30 minuutin ohjearvon alueen kaikkien asuntojen kohdalla. Teoreettinen vuotuinen välkeaika jää alle Saksan 30 tunnin raja-arvon kaikkien asuntojen kohdilla. Myös teoreettisen välkevaikutuksen päiväkohtainen välkeaika alittaa Saksan 30 minuutin raja-arvon kaikkien asuntojen kohdilla.

7 Välkevaikutuksen laskentamenetelmä

Välkevaikutuksen laskennassa hyödynnetään taivaanpallon käsitettä, joka on maapallon maantieteellistä koordinaatistoa vastaava kuvitteellinen kuori katsottaessa maapallolta taivaalle. Samalla tavoin kuin paikan sijainti maapallolla voidaan ilmoittaa pituus- ja leveyspiirien avulla, voidaan taivaankappaleiden paikat taivaanpallolla ilmoittaa kahden koordinaatin (rektaskensio ja deklinaatio) avulla. Aurinko kulkee vuoden aikana taivaanpallolla kääntöpiirien väliin asettuvalla nauhalla, ja Auringon esiintymistiheys kyseisellä nauhalla voidaan esittää tiheysfunktiona.

Tiettyyn pisteeseen kohdistuvaa vuotuista välkevaikutusta laskettaessa tarkastellaan sitä osaa taivaanpallosta, joka näkyy pisteeseen tuulivoimaloiden roottorikehien läpi. Näkyvyyden arvioinnissa otetaan huomioon paikallinen maaston korkeusaineisto. Mikäli kääntöpiirien väliin asettuva nauha ei näy roottorikehien läpi, tarkastelupisteeseen ei kohdistu välkevaikutusta. Muussa tapauksessa yksittäisen tuulivoimalan aiheuttamien välketuntien määrä saadaan integroimalla tiheysfunktioita tuulivoimalan roottorikehien läpinäkyvällä taivaanpallon osuudella. Tuulivoimaloiden yhteisvaikutus saadaan summaamalla tuulivoimakohtaiset välketunnit ottaen kuitenkin huomioon mahdolliset päällekkäisyydet roottorikehien peittämässä alueissa. Laskenta suoritetaan erikseen tuulivoimaloiden eri orientaatioille, joita skaalataan suuntakohtaisilla tuulusuusosuuksilla.

Huomioitaessa kuukausittaista (tai muuta lyhytaikaista) vaihtelua auringonpaisteen todennäköisyydessä, taivaanpallon nauha jaetaan vastaaviin osiin Auringon deklinaation mukaan. Tiheysfunktio määritellään näissä osissa erikseen, ja integroinnin tuloksia skaalataan kuukausikohtaisilla todennäköisyyksillä.

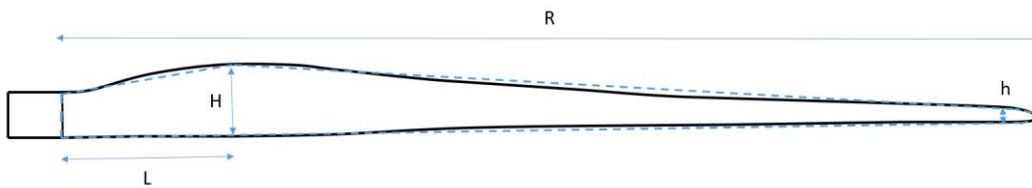
Tuulivoimalan lapojen aiheuttama varjo heikkenee asteittain liikuttaessa etäämmälle voimalasta, eikä tietyn etäisyyden jälkeen varjo ole enää ihmissilmin havaittavissa. Tämä etäisyys riippuu tuulivoimalan lavan leveydestä, ja esimerkiksi Ruotsin ja Saksan tuulivoimarakentamisen suunnitteluohjeistuksessa määritellään, että välkevarjostus huomioidaan, mikäli lapa peittää vähintään 20 % Auringosta. Käytännössä tämä asettaa lavan leveydestä riippuvan maksimietäisyyden yksittäisen tuulivoimalan aiheuttamalle välkevaikutukselle, eikä sen ulkopuolella välkevaikutusta ole.

Kun lavan leveys on w metriä, niin 20 % Auringon peittoon perustuvan välkevarjostuksen maksimietäisyyden määrittämiseen voidaan johtaa laskentakaava

$$\text{maksimietäisyys} = (5 * d * w) / 1'097'780,$$

missä d on etäisyys Aurinkoon (150'000'000 km). Yleensä välkelaskennan maksimietäisyyden laskenta perustuu lavan keskimääräiseen leveyteen, joka määrää maksimietäisyyden. Käytännössä tuulivoimalan lapa ei ole vakiolevyinen: Levein kohta sijaitsee lähellä tuulivoimalan napaa ja lapa kapenee huomattavasti kärkeä kohti liikuttaessa. Tällä perusteella lavan tyven välkevaikutus ulottuu huomattavasti pidemmälle kuin lavan kärjen, mikäli arviointiperusteena käytetään Auringon peittoastetta.

Seuraavassa kaaviokuvassa (Kuva 7) on esitetty yksinkertaistettu malli tyypillisestä profiilista, jossa lavan maksimileveys on H etäisyydellä L lavan tyvestä. Lavan kokonaispituus on R ja lavan leveys 90 % etäisyydellä tyvestä on h . Lavan oletetaan kapenevan lineaarisesti arvosta H arvoon h liikuttaessa maksimikohdasta kärkeen. Tavanomaisesti välkelaskennassa tuulivoimalan keskimääräinen leveys on määritetty parametrien H ja h keskiarvona.



Kuva 7: Tuulivoimalan lavan yksinkertaistettu profiili.

Tämän raportin väkkelaskennassa lavan leveys on määritetty useasta kohtaa lapaa, jolloin lavan muoto saadaan kuvattua vielä tarkemmin kuin kahteen leveysarvoon H ja h perustuvassa lineaarisessa approksimaatiossa. Tällä tavoin väkkelaskennassa huomioidaan tarkemmin tuulivoimalan muuttuva lapaprofiili, ja saadaan realistisempia tuloksia kuin olettamalla tietty keskimääräinen lavan leveys ja sitä vastaava kiinteä maksimietäisyys.

8 Viitteet

- [1] C. Di Napoli: Tuulivoimaloiden melun syntytavat ja leviäminen, Suomen Ympäristö 4, 2007.
- [2] D. Siponen: Noise Annoyance of Wind Turbines, VTT Research Report VTTR-00951-11, 2011.
- [3] J. Jakobsen: Danish regulation for low frequency noise from wind turbines, Journal of Low Frequency Noise, Vibration and Active Control 31(4), 2012.
- [4] J. Keränen, J. Hakala, V. Hongisto: The sound insulation of façades at frequencies 5–5000Hz, Building and Environment 156, 2019.
- [5] S. Uosukainen: Tuulivoimaloiden melun synty, eteneminen ja häiritsevyys, VTT Tiedotteita 2529, 2010.
- [6] Sosiaali- ja terveysministeriön asetus asunnon ja muun oleskelutilan terveydellisistä olosuhteista sekä ulkopuolisten asiantuntijoiden pätevyysvaatimuksista. Sosiaali- ja terveysministeriö 2015.
- [7] Tuulivoimaloiden melun mallintaminen, Ympäristöhallinnon ohjeita 2|2014. Ympäristöministeriö.
- [8] Tuulivoimarakentamisen suunnittelu. Päivitys 2016. Ympäristöhallinnon ohjeita 5|2016. Ympäristöministeriö, 2016.
- [9] Valtioneuvoston asetus 1107/2015 tuulivoimaloiden ulkomelutason ohjeista. Astui voimaan 1.9.2015.
- [10] Valtioneuvoston päätös 993/1992 melutason ohjeista. Astui voimaan 1.1.1993.
- [11] Yhteenveto tuulivoimaloiden melupäästön takuuarvon käyttämisestä meluselvityksissä liittyvästä kyselystä. Ympäristöministeriö, 14.9.2016.
- [12] Ympäristömelun mittaaminen. Ympäristöministeriö, Ohje I 1995.
- [13] IECRE - IEC System for Certification to Standards Relating to Equipment for Use in Renewable Energy Applications. IECRE.WE.TC.21.0091-R1, EnVentus V162. 20.8.2021, DNV Renewables Certification.
- [14] C. A. León: Trailing Edge Serrations, Effect of Their Flap Angle on Flow and Acoustics. 7th International Conference on Wind Turbine Noise, Rotterdam, 2nd to 5th May 2017.
- [15] M. Gupta, K. Madsen: Advancements in continuous learning for tonality free turbine design. Conference Proceedings. 8th International Conference on Wind Turbine Noise, Lissabon, June 12-14, 2019.
- [16] K. Bolin: The Influence of Background Sounds on Loudness and Annoyance of Wind Turbine Noise. Acta Acustica united with Acustica, Vol 98 (2012) pages 741-748.
- [17] G.P. van den Berg: The sound of high winds: the effect of atmospheric stability on wind turbine sound and microphone noise. Doctoral Thesis, University of Groningen, Holland, 2006.
- [18] D. Halstead, N. Tam: A study of background noise levels measured during far-field receptor testing of wind turbine facilities. Conference Proceedings. 8th International Conference on Wind Turbine Noise, Lissabon, June 12-14, 2019.
- [19] S. Oerlemans, J.G. Schepers: Prediction of wind turbine noise directivity and swish, Proc. 3rd Int. conference on wind turbine noise, Aalborg, Denmark, 2009.
- [20] Boverket: Vindkraftshandboken, Planering och prövning av vindkraftverk på land och i kustnära vattenområden, 2009.
- [21] B. Tammelin et al.: Production of the Finnish Wind atlas. Wind Energy, 2011.
- [22] P. Pirinen et al.: Tilastoja Suomen ilmastosta 1981-2010, Ilmatieteen laitos, Raportteja 2012:1

9 Melumallinnuksen tiedot

RAPORTIN JA RAPORTOIJAN TIEDOT							
Mallinnusraportin numero/tunniste: 101021883-003				Raportin hyväksyntäpäivämäärä: 07.05.2024			
Tekijä/organisaatio, yhteystiedot: AFRY Finland Oy							
Vastuhenkilöt: Kalle Auvinen ja Erkki Heikkola							
Laatija: Kalle Auvinen				Tarkastaja/hyväksyjä: Erkki Heikkola			
MALLINNUSOHJELMAN TIEDOT							
Mallinnusohjelma ja versio: AFRY Numerola -mallinnusohjelmisto				Mallinnusmenetelmä: ISO 9613-2			
TUULIVOIMALAN (TUULIVOIMALOIDEN) TIEDOT							
Tuulivoimalan valmistaja: Vestas				Tyyppi: V172 6.8 MW PO6800-0S (without serrated trailing edge)		Sarjanumero/t:	
Nimellisteho: 6,8 MW		Napakorkeus: 200 m		Roottorin halkaisija: 172 m		Tornin tyyppi:	
Mahdollisuudet vaikuttaa tuulivoimalan melupäästöön käytön aikana ja sen vaikutus meluun							
Lapakulman säätö		Pyörimisnopeus		Muu, mikä			
Kyllä	dB	Kyllä	dB			dB	
Ei	Ei tiedossa	Ei	Ei tiedossa			dB	
AKUSTISET TIEDOT/LASKENNAN LÄHTÖTIEDOT							
Third octave noise emission, EnVentusTM, V172-6.8MW 50/60 Hz, Document no. 0121- 1548_01, 2022-06-29.							
Melupäästötiedot: V172 6.8MW PO6800-0S (valmistajan ilmoittamat melupäästön tunnusarvot)							
Oktaaveittain [Hz]		1/3-oktaaveittain [Hz]					
31,5		20	59,3	200	97,5	2000	93,4
63	90,4	25	65,0	250	98,4	2500	91,1
125	99,1	31,5	70,3	315	98,8	3150	88,4
250	103,0	40	75,6	400	99,2	4000	85,4
500	104,0	50	80,4	500	99,2	5000	81,9
1000	102,7	63	84,7	630	99,2	6300	78,1
2000	98,4	80	88,4	800	98,8	8000	73,9
4000	90,8	100	91,6	1000	98,0	10000	69,3
8000	79,9	125	94,1	1250	96,9		
		160	96,1	1600	95,3		

Melun erityispiirteiden mittaustulos ja havainnot:											
Kapeakaistaisuus/ tonaalisuus		Impulssimaisuus		Merkityksellinen sykintä (amplitudi- modulaatio)		Muu, mikä:					
kyllä	ei	kyllä	ei	kyllä	ei	kyllä	ei				
Laskentakorkeus						Laskentaruudun koko [m x m]					
4 m						10 m x 10 m					
Suhteellinen kosteus						Lämpötila					
70 %						15 C°					
Maastomallin lähde ja tarkkuus											
Maastomallin lähde: Maanmittauslaitos						Vaakaresoluutio: 2 m		Pystyresoluutio: 0,3 m			
Maan- ja vedenpinnan absorptio ja heijastuksen huomiointi, käytetyt kertoimet											
ISO 9613-2											
Vesialueet, (0) / (G)											
Maa-alueet, (0,4) / (A-D/E-F)											
Maa-alueet (0) / (G)											
Ilmakehän stabiilius laskennassa/meteorologinen korjaus											
Neutraali											
Voimalan äänen suuntaavuus ja vaimentuminen											
Vapaa avaruus											
Melulle altistuvat asukkaat ja kohteet, lkm (ilman meluntorjuntaa/voimalan ohjausta)											
Vakituiset asuinrakennukset: 0 kpl			Vapaa-ajan rakennukset: 0 kpl			Hoito- ja oppilaitokset: 0 kpl					
Melulle altistuvat asukkaat ja kohteet, lkm (meluntorjunta/voimalan ohjaus huomioiden)											
Vakituiset asuinrakennukset: 0 kpl			Vapaa-ajan rakennukset: 0 kpl			Hoito- ja oppilaitokset: 0 kpl					
Melun leviäminen virkistys- tai luonnonsuojelualueille											
Virkistysalueet: 0 kpl						Luonnonsuojelualueet: 0 kpl					
Lineaariset melutasot [dB] altistuvien kohteiden (rakennusten) ulkopuolella:											
H _z	20	25	31,5	40	50	63	80	100	125	160	200
R1	49,4	49,2	49,0	49,1	49,2	49,0	48,1	47,0	45,0	41,6	39,8
R2	48,3	48,2	48,0	48,0	48,2	47,9	47,0	45,9	43,7	40,3	38,4
R3	47,0	46,8	46,6	46,6	46,7	46,4	45,5	44,3	42,1	38,5	36,4
R4	47,4	47,2	47,0	47,0	47,2	46,9	45,9	44,8	42,6	39,1	37,1
R5	48,4	48,2	48,0	48,0	48,2	47,9	47,0	45,9	43,8	40,4	38,5
R6	48,2	48,1	47,8	47,9	48,0	47,8	46,8	45,8	43,6	40,2	38,4
R7	48,1	48,0	47,7	47,8	47,9	47,6	46,7	45,6	43,5	40,1	38,2
R8	48,2	48,1	47,9	47,9	48,0	47,8	46,8	45,8	43,6	40,2	38,3
R9	49,5	49,3	49,1	49,2	49,3	49,0	48,2	47,1	45,1	41,7	40,0
R10	49,5	49,3	49,1	49,1	49,3	49,0	48,1	47,1	45,0	41,7	39,9
R11	49,4	49,3	49,0	49,1	49,3	49,0	48,1	47,0	45,0	41,6	39,8
R12	48,5	48,4	48,1	48,2	48,3	48,0	47,1	46,0	43,9	40,5	38,6
R13	47,9	47,8	47,5	47,6	47,7	47,4	46,5	45,4	43,2	39,8	37,8
R14	48,0	47,9	47,6	47,6	47,8	47,5	46,6	45,5	43,3	39,9	37,9
R15	49,1	49,0	48,7	48,8	48,9	48,6	47,8	46,7	44,6	41,2	39,4
R16	46,5	46,3	46,0	46,1	46,2	45,9	44,9	43,8	41,5	38,0	35,9
R17	46,6	46,5	46,3	46,3	46,4	46,1	45,1	44,0	41,8	38,3	36,3